К. т. н. А. А. АЛТУХОВ $^1$ , к. ф.-м. н. К. Н. ЗЯБЛЮК $^1$ , д. ф.-м. н. А. Ю. МИТЯГИН $^2$ , к. ф.-м. н. Н. Х. ТАЛИПОВ $^2$ , д. ф.-м. н.  $\Gamma$ . В. ЧУЧЕВА $^2$ 

УДК 621.382.3

Россия, г. Фрязино, <sup>1</sup>ПТЦ УралАлмазИнвест»; <sup>2</sup>Фрязинский филиал ИРЭ им. В. А. Котельникова РАН E-mail: alexandr-mityagin@yandex.ru

Дата поступления в редакцию 30.06 2011 г.

# МОДЕЛЬ АЛМАЗНОГО СВЧ-ТРАНЗИСТОРА

Модель плавного затвора позволяет рассчитать характеристики полевых алмазных СВЧ-транзисторов по электрофизическим параметрам алмазной структуры с б-легированным слоем и по геометрическим параметрам элементов транзистора.

Основной тенденцией развития СВЧ-электроники в настоящее время является рост числа исследований в области разработки приборов на основе широкозонных полупроводников, в частности алмаза. Наиболее перспективным вариантом считается полевой (униполярный) транзистор на основе алмаза с модулируемым проводящим каналом. В настоящий момент ведутся работы по исследованию алмазных транзисторов двух основных конструкций в зависимости от типа проводящего канала: с каналом n-типа в виде  $\delta$ -легированного бором слоя и с каналом p-типа на гидрированной поверхности алмаза [1]. Алмазные транзисторы второго типа основаны на поверхностной проводимости гидрированного алмаза.

Обнаружено, что при обработке в водородной плазме алмаз приобретает поверхностную проводимость дырочного типа [2]. Такая поверхность алмаза насыщена С—Н-связями и называется гидрированной (или гидрогенизированной). Исследования показали, что проводящий канал находится на глубине около 10 нм под поверхностью и обладает толщиной около 1 нм, т. е. фактически является вышеупомянутым бслоем или так называемым двумерным дырочным газом. Такие свойства гидрированного алмаза позволяют изготовить полевой транзистор на его основе [1—5].

Для проведения исследований таких транзисторов нужна модель, которая бы достаточно хорошо описывала их работу. В настоящей работе предложена модель, позволяющая рассчитать характеристики подобных полевых алмазных транзисторов по электрофизическим параметрам алмазного материала и геометрическим параметрам электродов.

Работа выполнена в рамках проекта РФФИ № 11-07-00288.

# Конструкция СВЧ-транзистора

В качестве основной конструкции СВЧ-транзистора выбран полевой транзистор на основе алмазной пленки с проводящей гидрированной поверхностью, схема которого представлена на **рис. 1**. Контакты истока и стока изготавливаются из металла, образующего с гидрированной поверхностью алмаза омиче-

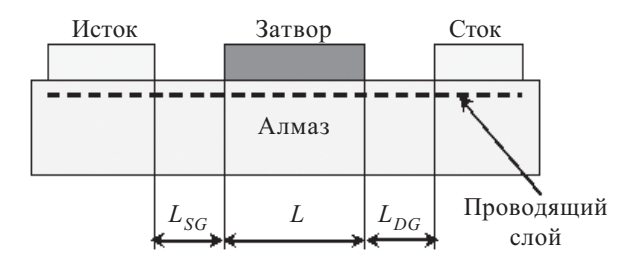


Рис. 1. Схема полевого транзистора на гидрированной поверхности алмаза

ский контакт (как правило, из золота), а затвора — образующего барьерный контакт Шоттки (как правило, из алюминия).

Расчеты проводились для транзистора с затвором Шоттки как наиболее простой конструкции. Они могут быть легко обобщены на транзисторы типа «металл—диэлектрик—полупроводник», в которых между полупроводником и контактом затвора имеется слой диэлектрика.

Для достижения высокого тока «исток—сток» и максимальных рабочих частот транзистора длина затвора L должна быть минимальной, что определяется доступными технологиями. Длины зазоров контактов «исток—затвор»  $L_{SG}$  и «сток—затвор»  $L_{DG}$  также должны быть минимальными для уменьшения сопротивления входных участков. Минимальная величина зазоров определяется не только возможностями технологии, но и требованием недопустимости пробоя при максимальных рабочих напряжениях. Ширина затвора определяет характеристики транзистора.

## Модель плавного канала

Рассмотрим полевой транзистор с длиной затвора L и шириной W. Пусть ось x — вдоль затвора, ось y направлена вглубь полупроводника. Пренебрежем расстояниями между затвором и истоком и затвором и стоком (в дальнейшем они будут учтены как вне-

шние сопротивления). При условии малости продольного поля по сравнению с поперечным  $(E_{\rm r}\!>\!E_{\rm v})$  под затвором образуется проводящий канал вдоль оси x, что называется приближением плавного канала. Формула для вычисления плотности тока в канале в направлении оси х имеет вид:

$$J=qnv,$$
 (1)

где q — элементарный заряд;

*n* — объемная плотность носителей заряда;

v — скорость носителей заряда вдоль оси x.

При малых значениях напряженности поля E скорость носителей заряда линейно зависит от напряжения:  $v = \mu E$ , где  $\mu$  — подвижность носителей. При скоростях около 107 см/с происходит насыщение скорости носителей заряда в алмазе, что может быть учтено с помощью следующей зависимости:

$$v = \mu E/(1 + \mu E/v_s), \tag{2}$$

где  $v_{s}$  — скорость насыщения.

В статическом случае (rotE)<sub>z</sub>= $d_x E_y - d_y E_x = 0$ , и при достаточной плавности канала (слабая зависимость  $n, E_v$  от x) компонента  $E_v$  слабо зависит от y. Поэтому в предположении независимости  $\mu$  и  $E_x$  от координаты yможно проинтегрировать уравнения (1), (2) по y и получить поверхностную плотность тока

$$j_s = Q_s(x) \frac{\mu V'(x)}{1 + \mu V'(x) / \nu_s} = \frac{I_{DS}}{W},$$
(3)

где  $Q_{s}(x)$  — поверхностная плотность заряда,  $Q_s(x) = q \int dy \, n(x, y);$ 

V(x) — потенциал непосредственно под каналом;

 $I_{DS}$  — ток «исток—сток».

В модели плавного канала поверхностная плотность заряда описывается следующим образом:

$$Q_s(x) = C_i \left[ V_{GS} - V_T - V(x) \right], \tag{4}$$

где  $C_i$  — поверхностная емкость подзатворного диэлектрического слоя;

 $V_{GS}$  — напряжение затвора относительно истока;  $V_{T}$  — некое пороговое напряжение, определяемое свойствами поверхности «затвор—диэлектрик (полупроводник)».

В стационарном случае  $I_{DS}$ =const, и уравнение (3) может быть проинтегрировано с учетом граничного условия V(0)=0. Далее, решая квадратное уравнение и применяя граничные условия V(0)=0,  $V(L)=V_{DS}(V_{DS})$ — напряжение стока относительно истока), можно получить распределение потенциала вдоль канала и вольт-амперную характеристику (ВАХ) при условии, что ток  $I_{DS}$  не превышает тока насыщения  $I_{DS,sat}$ :

$$I_{DS} < I_{DS \, sat} \equiv \frac{\mu C_i W}{I_i} \, \frac{V_{DS \, sat}^2}{2}. \tag{5}$$

Здесь  $V_{DSsat}$  — напряжение насыщения (при  $V_{DS}$  >  $V_{DSsat}$  с ростом напряжения значение тока «исток сток» остается постоянным:  $I_{DS} = I_{DSsat}$ ):

$$V_{DS \, sat} \equiv V_s \left( \sqrt{1 + 2 \frac{U}{V_s}} - 1 \right),$$

где потенциал  $V_{s}$  определяется как

$$V_{s} \equiv v_{s} L/\mu$$
.

В реальных транзисторах контакты должны находиться на определенных расстояниях друг от друга во избежание пробоя, особенно на участке «затворсток» в режиме насыщения  $V_{DS} > V_{GS} \!\!-\!\! V_T$  . Чтобы учесть сопротивление конечных межэлектродных промежутков, можно использовать эквивалентную схему транзистора, включающую сопротивления участков «исток—затвор»  $R_S$  и «затвор—сток»  $R_D$  (рис. 2).

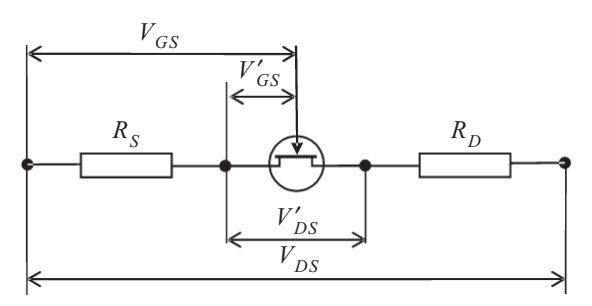


Рис. 2. Эквивалентная схема полевого транзистора с учетом сопротивлений участков «исток—затвор» и «затвор-сток»

Обозначим через  $V_{GS}'$  и  $V_{DG}'$  «внутренние» напряжения в полевом транзисторе, т. е. без учета участков «исток—затвор» и «затвор—сток». Согласно схеме на рис. 2 напряжения в транзисторе с учетом этих участков равны

$$V_{GS} = V'_{GS} + \frac{R_S I_{DS}}{1 - R_S I_{DS} \mu / (v_s L_{GS})};$$
 (6)

$$V_{DS} = V'_{DS} + \frac{R_S I_{DS}}{1 - R_S I_{DS} \mu / (v_s L_{SG})} + \frac{R_D I_{DS}}{1 - R_D I_{DS} \mu / (v_s L_{DG})},$$
(7)

где  $L_{SG}, L_{DG}$  — длины участков «исток—затвор» и «затвор—сток» (см. рис. 1). Ток «исток—сток» здесь определяется «внутренними» напряжениями транзистора как  $I_{DS} = I_{DS}(V'_{GS}, V'_{DS})$ .

В дальнейшем для напряжений затвора, отсчитываемых от напряжения отсечки  $V_T$ , для удобства будем использовать обозначения

$$U \equiv V_{GS} - V_T;$$

$$U' \equiv V'_{GS} - V_T$$
.

В режиме насыщения ток  $I_{DS}$  не зависит от напряжений  $V_{DS}$ ,  $V'_{DS}$ . Согласно уравнению (6) можно получить уравнение, связывающее «внутреннее» напряжение затвора U'с «внешним» U. Его решение в виде U'(U) не может быть выражено в терминах аналитических функций, поэтому должно решаться численно. Решение должно удовлетворять условию 0 < U' < U.

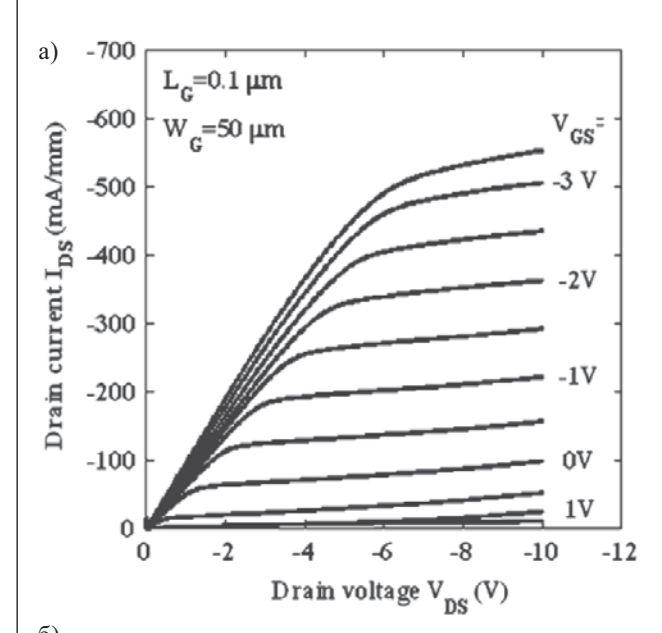
Вычислив U', можно найти «внутреннее» напряжение насыщения  $V'_{DS\,sat}$ , а затем  $V_{DS\,sat}$  по уравнению (7). Для режима, предшествующего насыщению, т. е. при  $V_{DS} < V_{DS\,sat}$ , в случае когда  $L_{SG} = L_{DG}$  внутреннее напряжение затвора U' можно найти аналитически. При  $R_S = R_D = R$  получим

$$U-U'=$$

$$=\frac{V_{DS} + V_s + AB - \sqrt{\left[V_{DS} + V_s + AB\right]^2 - 8BDV_{DS}}}{4D}, \quad (8)$$

где 
$$A=2-V_{DS}/V_{s1};\;B=R\mu C_i(W/L)V_s(U-V_{DS}/2);$$
 
$$D=1-B/V_{s1};\;V_{s1}=\;v_sL_1/\mu.$$

Для проверки модели были использованы данные, опубликованные по алмазным полевым транзисторам [3—7]. Эти транзисторы изготавливались на гидрированной поверхности алмаза, обладающей проводимостью p-типа с поверхностной концентрацией носителей заряда  $(0.5-1.0)\times10^{13}$  см<sup>-3</sup> и подвижностью  $\mu$ =50—150 см<sup>2</sup>/( $B\cdot c$ ) при комнатной температуре. Для



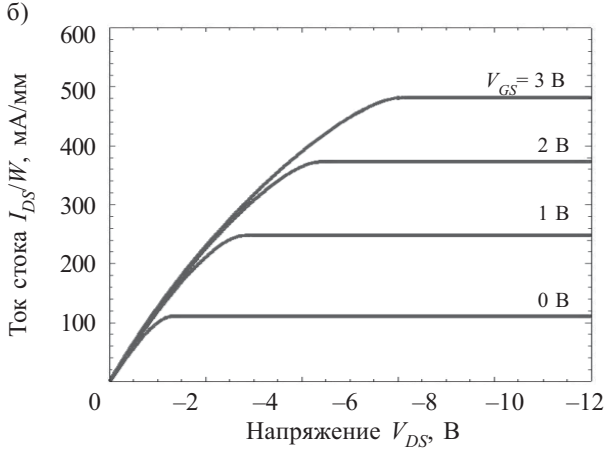
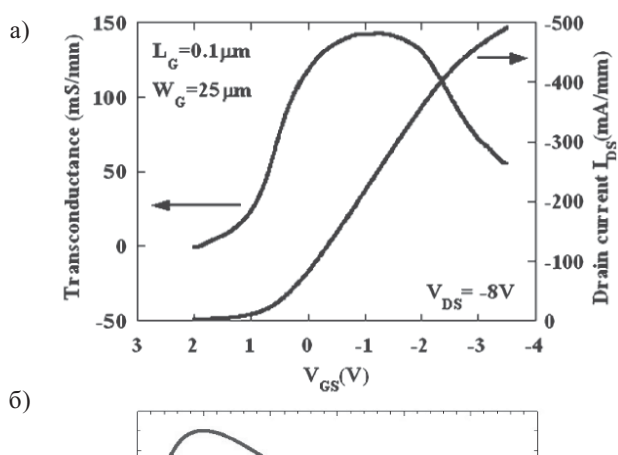


Рис. 3. ВАХ алмазного полевого транзистора, полученная экспериментально в [7] (a) и рассчитанная в настоящей работе  $(\delta)$ , для различных значений напряжения  $V_{GS}$ 

проведения расчетов и дальнейшего сравнения вольтамперных характеристик был выбран образец с максимальной удельной плотностью тока в статическом режиме:  $I_{DS}/W$ =550 мА/мм [7]. Образец был изготовлен на поликристаллическом алмазе с кристалличностью около 100 мкм, преимущественной ориентацией (110), контакты стока и истока — из золота, затвора — из алюминия. Длина затвора L=0,1 мкм, ширина затвора W=50 мкм, расстояния «сток—затвор» и «затвор—исток»  $L_{SG}$ = $L_{GD}$ =0,5 мкм. Поскольку в [7] не приводятся значения  $\mu$ ,  $\rho$  и  $C_i$  для данного образца, для расчета были взяты усредненные для подобных транзисторов значения подвижности и поверхностного сопротивления:  $\mu$ =100 см<sup>2</sup>/(B·c),  $\rho$ =7 кОм. При этих исходных данных значения сопротивления участков «сток—затвор» и «затвор—исток» составили  $R_S$ = $R_D$ = р  $L_{SG}/W$ =70 Ом, как в модели транзистора в [8]. Удельная емкость подзатворного слоя была определена для другого образца из вольт-фарадных характеристик в [4]:  $C_i \approx 1$  мк $\Phi$ /см $^2$  в диапазоне напряжений  $V_{GS} = -2...0$  В. Переход от p-типа транзистора к n-типу учитывался заменой знаков в значениях напряжений «сток—исток», «затвор—исток», тока «исток—сток». Напряжение отсечки при расчетах ВАХ в соответствии с этим выбрали равным  $V_T$ =1 В. Рассчитанные по модели плавного канала с учетом сопротивлений  $R_S$  и  $R_D$  вольт-амперные характеристики и кривые их крутизны вместе с выбранными для сравнения экспериментальными данными из [7] приведены на рис. 3 и 4. Здесь видно



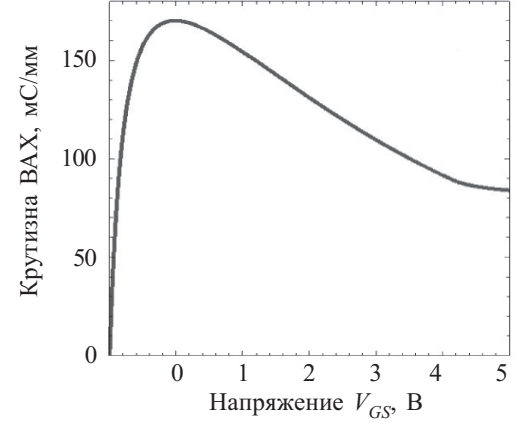


Рис. 4. Крутизна ВАХ алмазного полевого транзистора, полученной экспериментально в [7] (a) и рассчитанной в настоящей работе  $(\delta)$  при  $V_{DS} = 8$  В

качественное согласование приведенных данных. Отличия могут быть объяснены рядом неучтенных эффектов, например зависимостью подвижности носителей заряда от напряженности поля, зависимостью емкости подзатворного слоя  $C_i$  от напряжений, высоким значением напряженности поля на участке «затвор—сток» в режиме насыщения и пр.

# Модель плавного канала в случае переменного тока

Рассмотрим модель плавного канала в случае переменного тока. Напряжение, подаваемое на транзистор, состоит из постоянного напряжения смещения и переменной синусоидальной части. Рассмотрим подзатворный слой. Предположим, что длина волны много больше размеров транзистора, и тогда очевидно, что поверхностная плотность тока (3) и поверхностная плотность заряда (4) зависят от времени t. Поэтому вместо формул (3) и (4) запишем

$$j_s(x,t) = Q_s(x,t) \frac{\mu \, \partial_x V(x,t)}{1 + \mu \, \partial_x V(x,t) / v_s};$$

$$Q_{s}(x,t) = C_{i} [V_{GS}(t) - V_{T} - V(x,t)].$$
(9)

В случае переменного тока  $j_s$  удовлетворяет условию непрерывности

$$\frac{\partial j_s(x,t)}{\partial x} + \frac{\partial Q_s(x,t)}{\partial t} = 0. \tag{10}$$

Граничные условия для потенциала V(x,t):

$$V(0,t)=0, \ V(L,t)=V_{DS}(t).$$
 (11)

Значения тока на границах канала

$$Wj_{s}(L,t)=I_{D}(t); W[j_{s}(L,t)-j_{s}(0,t)]=I_{G}(t),$$
 (12)

где  $I_D$  — ток, вытекающий из стока;  $I_G$  — ток втекающий в затвор (без учета вклада участков «исток— затвор» и «затвор—сток»).

Решение уравнений (9), (10) с граничными условиями (11), (12) дают характеристики транзистора в случае переменного тока в данной модели.

Далее предположим, что емкость  $C_i$  не зависит от потенциалов. Для удобства введем обозначения

$$U(t) = V_{GS}(t) - V_T; F(x,t) = V_{GS}(t) - V_T - V(x,t).$$
(13)

Уравнение непрерывности (10) с учетом (9) в этих обозначениях принимает вид

$$\frac{\partial F(x,t)}{\partial t} = \frac{\partial}{\partial x} \left[ \left( 1 - \frac{\mu}{v_s} \frac{\partial F(x,t)}{\partial x} \right)^{-1} \times \frac{\partial F(x,t)}{\partial x} \right].$$
(14)

Наибольшую мощность транзистор развивает при больших напряжениях стока  $V_{DS}$ . Так как напряжение затвора (от напряжения отсечки) ограничено напряжением пробоя U=5...8 В (для затворов Шоттки), транзистор в этом случае работает в режиме насыщения. Поэтому далее ограничимся расчетом режима работы транзистора, в котором условие насыще-

ния  $V_{DS}(t) > V_{DS\,sat}(t)$  выполняется для любого момента времени t.

Напряжение, подаваемое на транзистор, состоит из постоянного напряжения смещения и синусоидальной части. Поэтому естественно представить потенциалы U, F в виде суммы постоянной части и зависящих от времени потенциалов, обращающихся в 0 в стационарном случае:

U(t)=U+u(t);

$$F(x,t) = U - V_{DS \, sat} \left( 1 - \sqrt{1 - \frac{x}{L}} \right) + f(x,t). \tag{15}$$

Для удобства в дальнейшем введем безразмерный параметр  $\gamma$  и безразмерную координату  $\check{x}$ :

$$\gamma = \frac{V_{DS \, sat}}{2V_s} = \frac{1}{2} \left( \sqrt{1 + 2\frac{U}{V_s}} - 1 \right); \quad \breve{x} = 1 - \frac{x}{L}. \tag{16}$$

В данных обозначениях уравнение непрерывности (14) приобретает вид

$$\frac{\partial f(\bar{x},t)}{\partial t} = \frac{v_s}{L} \frac{\partial}{\partial \bar{x}} \left\{ \left[ 2\gamma \left( \gamma + \sqrt{\bar{x}} \right) V_s + f(\bar{x},t) \right] \times \frac{\gamma V_s + \sqrt{\bar{x}} \partial_{\bar{x}} f(\bar{x},t)}{\left( \gamma + \sqrt{\bar{x}} \right) V_s + \sqrt{\bar{x}} \partial_{\bar{x}} f(\bar{x},t)} \right\}.$$
(17)

Граничное условие со стороны истока:

$$f(\breve{x}=1,t)=u(t).$$

Уравнение (17) выполняется автоматически в стационарном случае (f=0). Согласно (12), функция f при  $\tilde{x}$  =0 определяет ток стока полевого транзистора:

$$I_{D}(t)=I_{D}+i_{d}(t),$$
 (18)

где 
$$i_d(t) = WC_i v_s f(0,t), I_D = 2\gamma^2 WC_i v_s V_s.$$

Здесь постоянная часть  $I_D$  совпадает с током «исток—сток» (5) в режиме насыщения в стационарном случае.

Ток затвора зависит от производной

$$I_{D}(t) - I_{G}(t) = WC_{i}v_{s} \left[ 2\gamma (\gamma + 1)V_{s} + u(t) \right] \times \frac{\gamma V_{s} + \partial_{y} f(\bar{x}, t)}{(\gamma + 1)V_{s} + \partial_{y} f(\bar{x}, t)} \bigg|_{\bar{x} = 1}.$$
(19)

Уравнение непрерывности (17) нелинейно и в общем случае должно решаться численно, однако в режиме слабых сигналов оно может быть решено аналитически.

Режим слабых сигналов — это режим, при котором амплитуды зависящих от времени сигналов малы по сравнению с их постоянными частями. В этом случае в уравнении непрерывности (17) можно ограничиться линейными членами разложения по степеням функции f:

$$\frac{\partial f(\bar{x},t)}{\partial t} = 2\gamma \frac{v_s}{L} \frac{\partial}{\partial \bar{x}} \left[ \frac{\sqrt{\bar{x}}}{\sqrt{\bar{x}} + \gamma} \frac{\partial}{\partial \bar{x}} \left( \sqrt{\bar{x}} f(\bar{x},t) \right) \right]. \tag{20}$$

Линейные уравнения допускают разделение переменных х, t. В случае синусоидальных сигналов частоты ω удобно пользоваться комплексными амплитудами  $u(t)=ue^{i\omega t}$ ;  $f(x,t)=f(x)e^{i\omega t}$ , (21)

подразумевая, что измеряемые напряжения и токи представляют собой вещественную часть комплексных функций. Заменой переменной

$$z = e^{i\pi/6} \alpha^{1/3} \left( \sqrt{\check{x}} + \gamma \right), \tag{22}$$

где  $f = 2L\omega/(\gamma v_s)$ , уравнение (21) для синусоидальных потенциалов (22) сводится к виду

$$\frac{d}{dz} \left( \frac{1}{z} \frac{d}{dz} \left( \sqrt{\bar{x}} f \right) \right) = \sqrt{\bar{x}} f. \tag{23}$$

Общее решение этого уравнения можно записать

$$f(\bar{x}) = \frac{1}{\sqrt{\bar{x}}} \left\{ C_1 \operatorname{Ai'} \left[ e^{i\pi/6} \alpha^{1/3} \left( \sqrt{\bar{x}} + \gamma \right) \right] + \right.$$

$$\left. + C_2 \operatorname{Bi'} \left[ e^{i\pi/6} \alpha^{1/3} \left( \sqrt{\bar{x}} + \gamma \right) \right] \right\},$$
(24)

где Ai'(z), Bi'(z) — производные функций Эйри Ai(z),

Решение, удовлетворяющее граничному условию со стороны истока  $f(\tilde{x}=1,t)=u(t)$ , имеет вид

$$f(\bar{x}) = \frac{u}{\sqrt{\bar{x}}} \frac{\text{Bi}'(z_0) \text{Ai}'(F) - \text{Ai}'(z_0) \text{Bi}'(F)}{\text{Bi}'(z_0) \text{Ai}'(z_1) - \text{Ai}'(z_0) \text{Bi}'(z_1)},$$
 (25)

где  $F=e^{i\pi/6}\alpha^{1/3}\left(\sqrt{\breve{x}}+\varUpsilon
ight)$  и введены следующие обозначения для переменной z на границах затвора:

$$z_0 = e^{i\pi/6} \alpha^{1/3} \gamma; \quad z_1 = e^{i\pi/6} \alpha^{1/3} (1 + \gamma).$$
 (26)

Решение (25) конечно на конце затвора со стороны стока ( $\check{x}=0$ ).

Воспользовавшись свойством функций Эйри

$$Bi'(z) Ai(z) - Ai'(z) Bi(z) = 1/\pi$$
 (27)

и граничными условиями (18), (19), можно получить амплитуды токов стока и затвора. Амплитуды токов запишем в виде матрицы У-параметров проводимости транзистора:

$$-i_g = Y_{11} v_{gs} + Y_{12} v_{ds};$$

$$i_d = Y_{21} v_{gs} + Y_{22} v_{ds},$$
(28)

где  $i_g$  — ток, входящий в затвор;  $i_d$  — ток, выходящий из стока;  $v_{gs}, \, v_{ds}$  — скорость носителей заряда на участках «исток-сток» и «затвор-сток».

В режиме насыщения токи не зависят от напряжения стока, поэтому  $Y_{12} = Y_{22} = 0$ . Ненулевые компоненты матрицы проводимостей имеют вид

$$Y_{11} = C_{i}Wv_{s}\gamma e^{i\pi/3}\alpha^{2/3} \times \frac{\text{Bi}'(z_{0}) \text{Ai}(z_{1}) - \text{Ai}'(z_{0}) \text{Bi}(z_{1}) - \pi^{-1}}{\text{Bi}'(z_{0}) \text{Ai}'(z_{1}) - \text{Ai}'(z_{0}) \text{Bi}'(z_{1})};$$

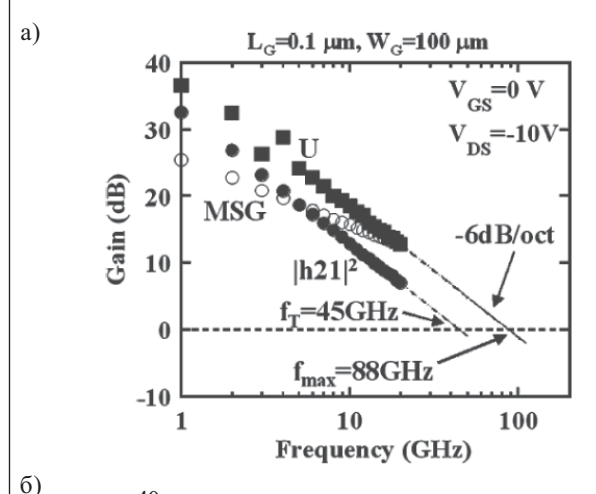
$$Y_{21} = C_{i}Wv_{s}\gamma e^{i\pi/3}\alpha^{2/3} \times \frac{\pi^{-1}}{\text{Ai}'(z_{0}) \text{Ai}'(z_{0}) \text{Ai}'(z_{0})}.$$
(29)

Эти параметры позволяют рассчитать коэффициент усиления транзистора по току  ${\cal H}_{21}$  в режиме короткого замыкания на выходе, который не зависит от сопротивлений участков «исток—затвор» и «затвор сток» и удельной емкости затвора  $C_i$ :

$$H_{21} = \frac{Y_{21}}{Y_{11}} = \frac{1}{\pi \left[ \text{Bi}'(z_0) \text{Ai}(z_1) - \text{Ai}'(z_0) \text{Bi}(z_1) \right] - 1}. (30)$$

Нами была рассчитана частотная зависимость коэффициента  $H_{21}$ . В расчетах полагали подвижность  $\mu=100$  см<sup>2</sup>/(B·c), скорость насыщения дырок  $v_s$  равной 107 см/с. Полученные данные сравнивались с опубликованными в [7, 9].

На рис. 5 представлены малосигнальные параметры алмазного транзистора с длиной затвора L=0,1 мкм,



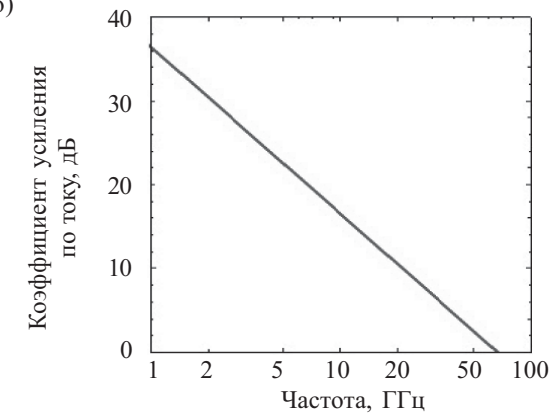
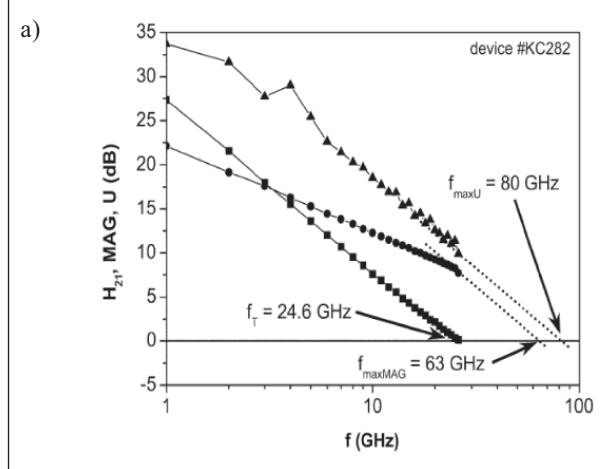


Рис. 5. Результаты измерения малосигнальных характеристик транзистора с длиной затвора 0,1 мкм [7] (а) и частотная зависимость коэффициента усиления по току, рассчитанная в настоящей работе при  $U'=0.6~\mathrm{B}$  (б)

приведенные в [7]. Учитывая, что напряжение отсечки  $V_T$ в [9] составляет около 1 В, примем напряжение затвора от напряжения отсечки U=-1 В (с учетом противоположного знака U=1 B). Учет участков «исток—затвор» и «затвор—сток» сводился к тому, что в наших расчетах согласно соотношению (30) все параметры рассчитывались по «внутреннему» напряжению затвора U', связанного с «внешним» напряжением U. Отметим, что значения для «внутреннего» напряжения затвора U' находились из анализа эквивалентной схемы транзистора с учетом сопротивлений «исток—затвор» и «затвор—сток» (см. рис. 2). Как и ранее, при расчете сопротивления входного и выходного участков удельное сопротивление выбиралось равным 7 кОм. Рассчитанное «внутреннее» напряжение на затворе U=0,6 В. Как видно из рис. 5, расчетная предельная частота усиления по току  $\hat{f}_{\mathcal{T}}$ , при которой  $|H_{21}|^2 = 1$ , равна 66 ГГц, а различие с измеренным значением 45 ГГц можно объяснить отсутствием точных значений параметров образца, на котором производились измерения, а также возможными неучтенными паразитными эффектами.

В [9] приведены результаты измерения малосигнальных характеристик образца с L=0,2 мкм, W=200 мкм,  $L_{SD}$ = $L_{GD}$ =0,5 мкм, проведенные при



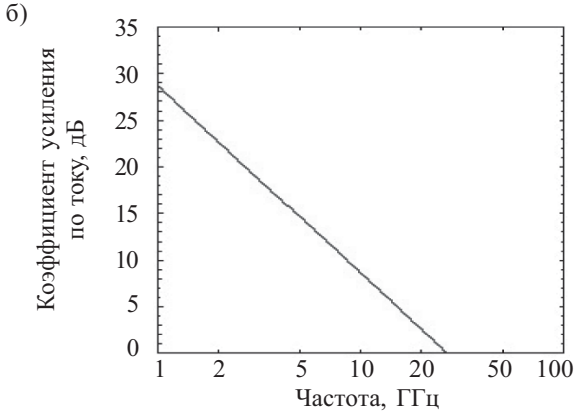


Рис. 6. Результаты измерения малосигнальных характеристик транзистора с длиной затвора 0,2 мкм [9] (a) и частотная зависимость коэффициента усиления по току, рассчитанная в настоящей работе по формуле (30) при  $U'=0.6~\mathrm{B}$  ( $\delta$ )

напряжениях смещения  $V_{DS}$ = $-20\,\mathrm{B}$  и  $V_{DS}$ = $-0.3\,\mathrm{B}$ . Если напряжение отсечки  $V_T$  принять равным  $1\,\mathrm{B}$ , то для расчетов нужно брать (переходя к принятым здесь знакам) U= $1.3\,\mathrm{B}$ , что соответствует «внутреннему» напряжению на затворе U= $0.8\,\mathrm{B}$ . Как видно из **рис. 6**, при одинаковых значениях подвижности и скорости насыщения дырок расчет и эксперимент дают значение  $f_T$ = $24.6\,\Gamma\Gamma$ ц. Отметим, что такое совпадение случайно, учитывая упомянутые выше неопределенности исходных параметров расчета.

В режиме усиления, т. е. при  $|H_{21}| > 1$ , коэффициент усиления по току с хорошей степенью точности описывается лидирующим членом разложения по частотам  $\omega$ :

$$\left|H_{21}\right|^2 = \left[\frac{v_s}{\omega L} \frac{3\gamma}{1 + 3\gamma}\right]^2,\tag{31}$$

где 
$$\omega << \frac{\gamma v_s}{L}$$
.

Отсюда получается максимальная частота усиления по току в режиме короткого замыкания

$$f_T = \frac{v_s}{2\pi L} \frac{3\gamma}{1 + 3\gamma},\tag{32}$$

где 
$$\gamma = \frac{1}{2} \left( \sqrt{1 + 2 \frac{\mu U}{v_s L}} - 1 \right).$$

Отметим, что при малых напряжениях затвора  $f_{\tau} \sim 1/L^2$ , а именно:

$$f_T = \frac{3}{2} \frac{\mu U}{2\pi L^2},$$

где 
$$U \ll \frac{\gamma v_s}{I}$$
.

Результаты расчета максимальной частоты усиления по току для транзистора с длиной затвора 1 мкм как функции «внутреннего» напряжения затвора (без учета участков «исток—затвор» и «затвор—сток») приведены на рис. 7.

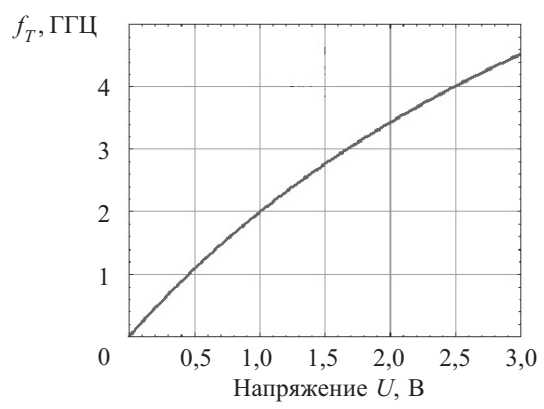


Рис. 7. Зависимость максимальной частоты усиления по току на выходе транзистора от напряжения на затворе в режиме короткого замыкания, рассчитанная по формуле (32) при длине затвора 1 мкм

### Расчет максимальной мощности транзистора

Приведем пример расчета режима работы транзистора в классе A с наибольшей выходной мощностью в высокочастотном диапазоне.

Рассмотрим схему, в которой полевой транзистор подключен к нагрузке с сопротивлением  $R_L$ . Генератор входного сигнала имеет сопротивление  $R_G$ . В классе А смещение напряжения затвора изменяется от напряжения отсечки  $V_T$  до максимального напряжения  $V_{GS\, \rm max}$ , ограниченного напряжением пробоя затвора. Если пренебречь нелинейными эффектами, то можно считать, что ток и напряжение в выходной цепи изменяются по синусоидальному закону. Если пренебречь нелинейными эффектами и сдвигом фаз между выходным напряжением и током, то выходная мощность высокочастотного сигнала в классе A равна

$$P_{RF\,out} = I_{DS\,\text{max}} (V_0 - V_{DS\,\text{min}})/8.$$
 (34)

Проведем расчет характеристик полевого транзистора с затвором Шоттки на гидрированном алмазе с длиной затвора 1 мкм, промежутками «исток—затвор» и «затвор—сток» 1 мкм, шириной затвора 500 мкм. Согласно [3], напряжение отсечки у таких транзисторов составляет около 1 В, пробой наступает при напряжении затвора  $V_{GS}$ =  $-7\,$  В. Так как эксплуатация транзистора в режиме, близком к пробою, приводит к преждевременной деградации транзистора, выберем диапазон изменения напряжения затвора  $V_{GS}$  от +1 до -3 В, или U=0...4 В. При этом, согласно расчетам, максимальная плотность тока равна  $I_{DS\max}/W=$ =140 мА/мм, или  $I_{DS\, {\rm max}}$  =70 мА. Минимальное напряжение стока, при котором транзистор работает в режиме насыщения, равно  $V_{DS\, \rm min} = 6~{\rm B}$ . Максимальное напряжение питания  $V_0$  ограничивается напряжением пробоя по стоку. В [3] напряжение пробоя по стоку составило  $V_{GS} = -100 \; {\rm B}$  для образца с длиной затвора 2 мкм (данные о длине промежутков «исток—затвор» и «затвор—сток» образца отсутствуют). В [6] сообщается об изготовлении транзистора, работающего при напряжении стока 50 В в режиме больших сигналов с напряжением пробоя 70—80 В по стоку. Длина затвора транзистора составила 0,4 мкм, зазоры, предположительно, 0,5 мкм. Тогда будем считать, что напряжение пробоя по стоку транзистора с выше описанными исходными параметрами составляет не менее 100 В, что соответствует напряженности пробоя по поверхности 1 МВ/см. Поэтому примем рабочее напряжение питания  $V_0$  для данного транзистора равным 50 В, подразумевая двукратный запас по пробою на стоке.

Таким образом, согласно (34), максимальная выходная мощность в высокочастотном диапазоне полевого транзистора на гидрированной поверхности алмаза с указанными выше параметрами при работе в классе A составит  $P_{RF\,\mathrm{max}}$ =0,4 Вт. Такая мощность достигается при сопротивлении нагрузки

$$R_L = (V_0 - V_{DS \text{ min}}) / I_{DS \text{ max}} \approx 600 \text{ Om}.$$

### Заключение

Результаты настоящей работы достаточно убедительно показывают, что в рамках модели плавного затвора можно рассчитать характеристики полевого СВЧ-транзистора на основе алмазной структуры с б-легированным (водородом или бором) слоем, используя ее электрофизические параметры и геометрические размеры элементов транзистора. Рассчитанные основные параметры модельного СВЧ-транзистора достаточно близки к опубликованным экспериментальным результатам измерений реальных СВЧ-транзисторов.

### ИСПОЛЬЗОВАННЫЕ ИСТОЧНИКИ

- 1. Алтухов А. А., Бугаев А. С., Гуляев Ю. В. и др. Перспективы создания СВЧ-элементов на основе полупроводниковых алмазных материалов // Успехи современной радиоэлектроники.— 2011.— №6.— С. 3—18. [Altukhov A. A., Bugaev A. S., Gulyaev Yu. V. i dr. // Uspekhi sovremennoi radioelektroniki. 2011. N 6. P. 3]
- 2. Landstrass M.I., Ravi K.V. Resistivity of chemical vapor deposited diamond films // Applied Physics Letters. 1989.— T. 55.— C. 975—977.
- 3. Kasu M., K Ueda., Yamauchi Y. et al. Diamond-based RF power transistors: fundamentals and applications // Diamond and Related Materials.— 2007.— T.16.— C.1010—1015.
- 4. Kubovic M., M Kasu., Yamauchi Y., et al. Structural and electrical properties of H-terminated diamond field-effect transistor // Diamond and Related Materials.— 2009.— T.18.— C.796—799.
- 5. Ueda K., Kasu M., Yamauchi Y. et al. Characterization of highquality polycrystalline diamond and its high FET performance // Diamond and Related Materials.— 2006.— T.15.— C.1954—1957.
- 6. Kasu M., Ueda K., Ye H. et al. High RF output power for H-terminated diamond FETs // Diamond and Related Materials.—2006.— T.15.— C.783—786.
- 7. Ueda K., Kasu M., Yamauchi Y. et al. Diamond FET Using High-Quality Polycrystalline Diamond With  $\rm f_T$  of 45 GHz and  $\rm f_{max}$  of 120 GHz // IEEE Electron Device Letters.— 2006.— T.27.— C.570—572.
- 8. M. Kasu, K. Ueda, Y. Yamauchi, T. Makimoto. Gate capacitance-voltage characteristics of submicron-long-gate diamond field-effect transistors with hydrogen surface termination //Applied Physics Letters.— 2007.— T.90.— B. 43509.— C. 1—3.
- 9. Kubovic M., Kasu M., Kallfass I. et al. Microwave performance evaluation of diamond surface channel FETs // Diamond and Related Materials.—2004.— T.13.— C.802—897.